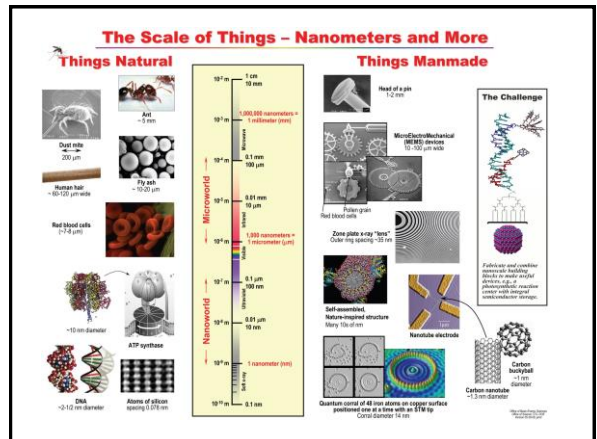


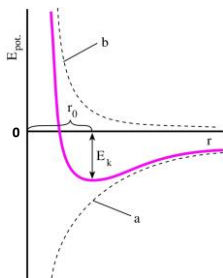
Atomi, illetve molekuláris kölcsönhatások és alkalmazásai

Bozó Tamás
2014. október 14.



Atomi kölcsönhatások

Nemesgázok: atomi előfordulás (He, Ne, Ar, Kr, Xe, Rn)
Többi elem: molekulákat alkot (pl. H₂, HCl, H₂O, ...)



$$E_{pot.} = E_{vonzó} + E_{taszító} = -\frac{A}{r^n} + \frac{B}{r^m}$$

A és B: kölcsönhatásokra jellemző állandók
 $n < m$

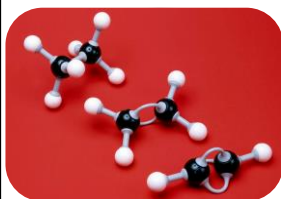
Kötéstípusok

Többféle osztályozási rendszer:

- Intra/intermolekuláris
- Egyszeres/többszörös
- Kötés erőssége (E_k) szerint:
 - Erős/gyenge
 - Elsődleges (kovalens, fémes, ionos)
 - Másodlagos (diszperziós, dipól-dipól, hidrogén)

I. Kovalens kötés

- Atomokat közös elektronpályák tartják össze
- Vegyértékelektronok szerepe
- Elektrosztatikus komponens is jelen lehet
- Erős kötés: $E_k > 1$ eV
($1 \text{ eV} = 1,6 \cdot 10^{-19} \text{ J} = 96 \text{ kJ/mol} \sim 100 \text{ kJ/mol}$)

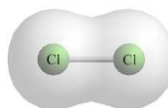


	szén-szén kötéshossz	kötési energia
H ₃ C-CH ₃ etán	154 pm	-331 KJ·mol ⁻¹
H ₂ C=CH ₂ etén (etilén)	139,9 pm	-590 KJ·mol ⁻¹
HC≡CH etin (acetilén)	120,3 pm	-812 KJ·mol ⁻¹

I. Kovalens kötés

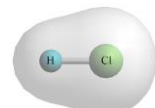
Apoláris (homeopoláris)

(+) és (-) töltések súlypontja egybeesik
kötőelektronok egyenletes eloszlása
„tiszta kovalens”
Pl.: H₂, Cl₂, O₂



Poláris (heteropoláris)

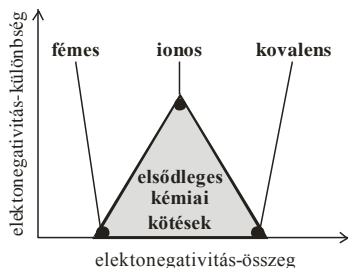
töltések súlypontja eltolódik polarizált elektronfelhő
elektromos dipólus
elektrosztatikus komponens megjelenik
Pl.: HCl, HF, H₂O



II. Elektrosztatikus kölcsönhatáson alapuló kötések

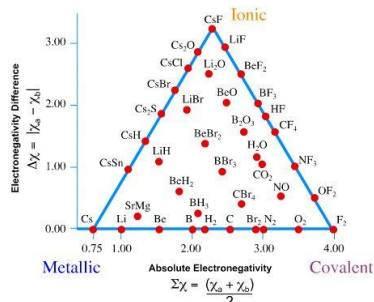
Elektronegativitás különbség:

< 0,6 (apoláris kovalens) 0,6 – 2,1 (poláris kovalens) 2,1 < (ionos)



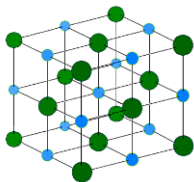
II. Elektrosztatikus kölcsönhatáson alapuló kötések

Ez a modell (N. C. Norman) nem a Pauling skála szerinti EN értékeket használja!



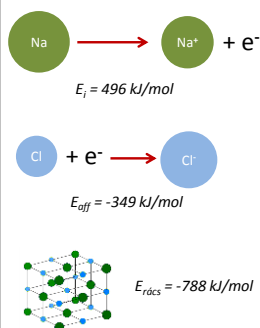
II./a Ionos kötés

- (+) és (-) ponttöltések között Coulomb erők
- Heteropoláris kötések „határesetek”
- Nagy EN különbségű atomok között (pl. NaCl , $\Delta EN = 3,0 - 0,9 = 2,1$)
- Általában sokatomos kristályok, de értelmezhető két atomra is
- Hosszú hatótávú kh., de ez a közegtől is függ (Isd. hidratáció)
- Erős kölcsönhatás ($E_k > 1 \text{ eV}$)



Ionrács: a pozitív és negatív ionok kristályos rendben helyezkednek el sztöchiometriai arányú halmazban.

II./a Ionos kötés



Ionizációs energia: kationok létrehozásához (elektronok kiszakításához) befektetendő energia.

Elektronaffinitás: anionok képződése (elektronfelvétel) során történő energiaszabadulás. (Olykor E befektetést igényel)

Rácsenergia: az ellentétes töltésű ionok kristályrácsba rendeződésekor felszabaduló energia. (E_{pot} csökken)

II./b Dipól-dipól kölcsönhatás

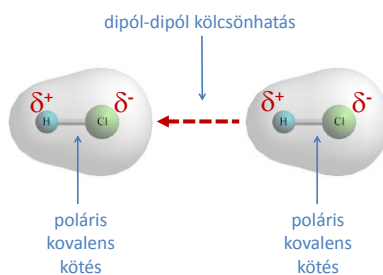
- (+) és (-) atomcsoportok/molekularészek között Coulomb erők
- Permanens dipólus jellegű töltéseloszlás
- Intra/intermolekuláris kölcsönhatás
- Gyenge kölcsönhatás ($E_k = 0,003 - 0,02 \text{ eV}$)
- A dipólusok közti vonzás és tasztítás:

$$E_{\text{vonzó}} = p E$$

p: dipólusmomentum
E: környező partnerek által keltett elektromos térerősség

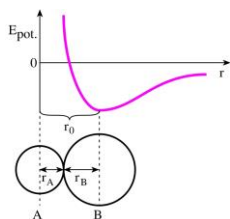
$E_{\text{tasztító}}$: partnerek elektronfelhőjének tasztítása

II./b Dipól-dipól kölcsönhatás



III. Van der Waals-kölcsönhatások

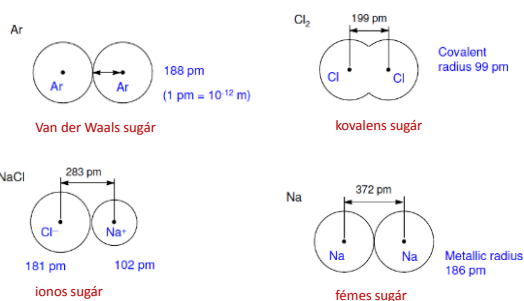
- Apoláris molekulákban/molekularészekben időlegesen kialakuló dipólus egy másik apoláris molekulában dipólust indukál
- Közöttük vonzó (diszperziós, vagy London-féle) erők lépnek fel
- Inter/intramolekuláris kölcsönhatás
- Nagy jelentőség biokémiai reakciókban, szerkezetstabilizálásban
- Gyenge kölcsönhatás ($E_k \sim 0,02$ eV)



r_0 : kötéshossz

r_A és r_B : az A és B atom Van der Waals sugara

Atomi méretek

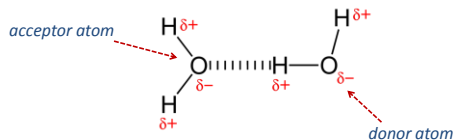


Elektrosztatikus kölcsönhatáson alapuló kötések

Kölcsönhatás	E_{pot} távolságfüggése	E_k
Ion-ion	$1/r$	2-3 eV
Ion-dipólus	$1/r^2$	0,1-0,2 eV
Dipólus-dipólus (rögzített partnerek)	$1/r^3$	0,02 eV
Dipólus-dipólus (hőmozgás mellett)	$1/r^6$	0,003 eV
Diszperziós	$1/r^6$	0,02 eV

IV. Hidrogénkötés

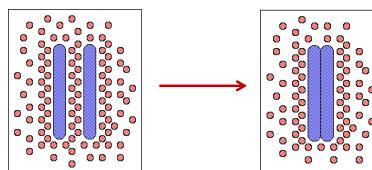
- Két nagy elektronegativitású atom között létrejövő H-híd
- Általában **F, N, O** atomok között
- Intermolekuláris / intramolekuláris kölcsönhatás
- Kötéstáv ált.: 0,23 – 0,35 nm
- A kötés térben irányított
- Nagy jelentőség biokémiai reakciókban, szerkezetstabilizálásban
- Közepes erősségű kölcsönhatás ($E_k \sim 0,2$ eV)



V. Hidrofób kölcsönhatás

- Vizes közegben értelmezhető (pl. biológiai rendszerek)
- Hidrofób molekulák/molekularészek asszociációja, cél a víz kiszorítása
- Nem csak Van der Waals alapú, hajtóereje a apoláris rész - víz határfelület csökkentése, ezzel a vízmolekulák rendezettségének csökkentése (Isd. entrópiánövekedés elve)
- Intra/intermolekuláris kölcsönhatás
- Nagy jelentőség biokémiai reakciókban, szerkezetstabilizálásban
- Gyenge kölcsönhatás

V. Hidrofób kölcsönhatás



Pásztázó próbamikroszkópia

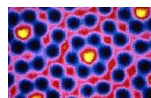
SPM: Scanning Probe Microscopy

Változatos szerkezetvizsgáló eljárások, melyek egy vékony **szonda** és valamely **felület között** létrejövő atomi szintű **kölcsönhatások** detektálásán alapulnak.

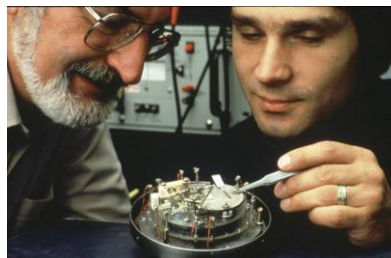
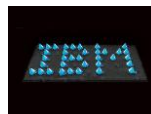
Egy **felületet tapogatunk** le pontról-pontra, akár atomról-atomra. Nem diffrakció-limitált módszerek

Néhány pm-es pásztázási pontosság

Scanning Tunneling Microscope (STM) 1981 Pásztázó alagút-mikroszkóp

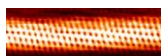
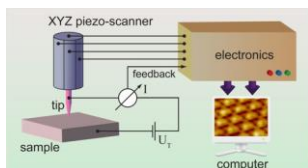


Atomok egy szilíciumlapkán

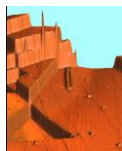


Heinrich ROHRER és Gerd BINNING
Nobel díj: 1986

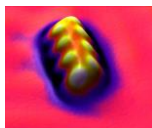
Scanning Tunneling Microscope (STM) 1981 Pásztázó alagút-mikroszkóp



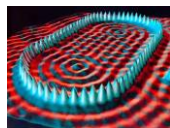
Szén nanocső



rézfelszín



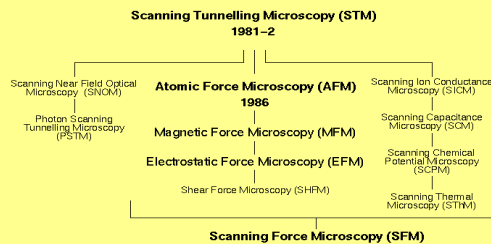
8Cs és 8I
rézfelszínen



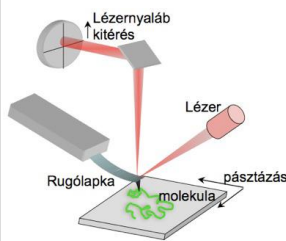
Vasatomok rézen

Az SPM családfája

Scanning Probe Microscopy "Family Tree" (SPM)



Atomic Force Microscopy (AFM), Atomi erő mikroszkópia



Pásztázás alapja:

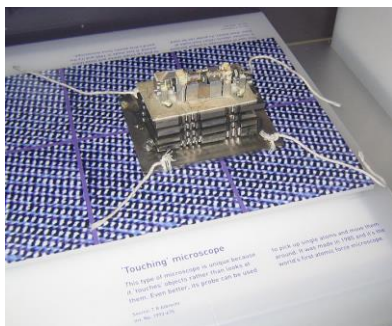
Piezoelektromos effektus:
Bizonyos anyagokban (pl. kvartz) deformáció hatására feszültség lép fel.

Inverz piezoelektromos hatás:
Feszültség hatására deformáció jelentkezik (~1nm/Volt)

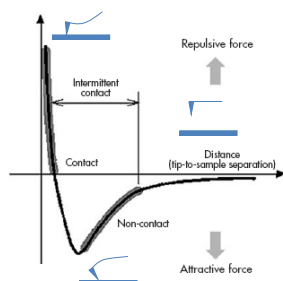
Atomic Force Microscopy (AFM), Atomi erő mikroszkópia

- A szonda egy rugalmas, mikroszkópikus méretű laprugóra szerkesztett parányi **tű**
- A tűhegy atomjai és a minta felületének atomjai között tisztító-vonzó **kölcsönhatások** a rugólapka elhajlását okozzák
- X-Y irányban vonalanként **pásztázzuk** a felületet
- Vertikális **felbontóképesség akár 10 pm**, a horizontális ennél rosszabb.
- Levegőben és folyadékban** (fiziológiás közeg) is működőképes
- Szinte mindenféle felületen alkalmazhatók.
- nm-μm** nagyságú objektumok szkennelhetők
- Natív minták:** nem kíván fixálást, festést vagy jelölést

Atomic Force Microscopy (AFM), Atomi erő mikroszkópia



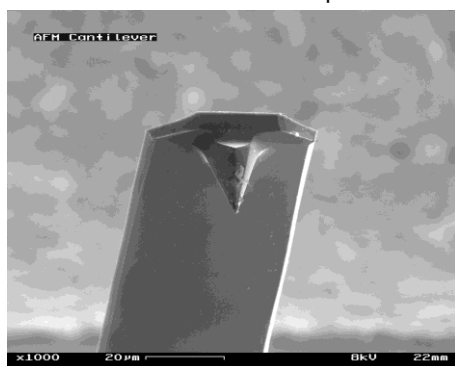
Atomic Force Microscopy (AFM), Atomi erő mikroszkópia



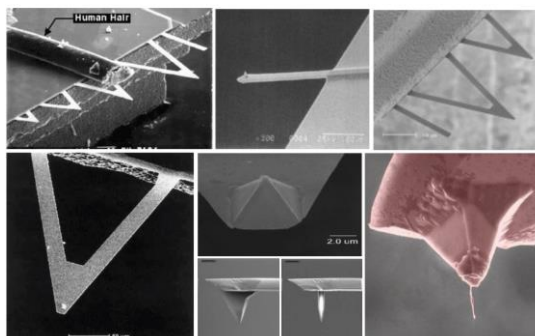
Atomi kölcsönhatások a tűhegy és a minta között:

- Vonzás és tasztítás
- Eredőjük távolságfüggő
- Nagyobb távolságoknál: vonzás
- Közel érve: tasztítás

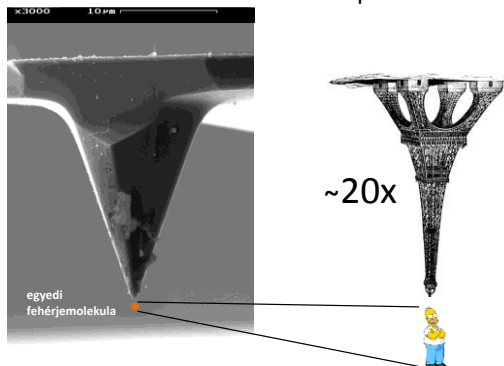
Atomic Force Microscopy (AFM), Atomi erő mikroszkópia



Atomic Force Microscopy (AFM), Atomi erő mikroszkópia



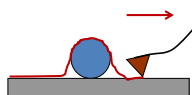
Atomic Force Microscopy (AFM), Atomi erő mikroszkópia



Atomic Force Microscopy (AFM), Atomi erő mikroszkópia

Kontakt mód: (Contact mode)

- A tű folyamatos kapcsolatban van a felszínnel.
- A felszínre kifejtett **erőt (a rugólapka elhajlását) konstans értéken tartjuk** a tű és a felszín távolságának szabályozásával (feedback rendszer)
- Pontról pontra regisztráljuk az ehhez szükséges Z irányú elmozdulást.

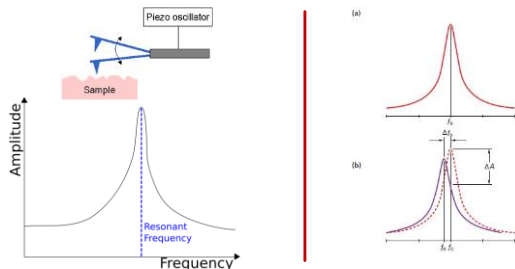


Hátrány: jelentős perturbáció vertikális és horizontális irányban.

Atomic Force Microscopy (AFM), Atomi erő mikroszkópia

Oscilláló mód: (Tapping mode, Non-contact mode)

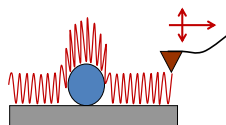
Rezonancia: kényszerrezgés, $f \approx f_0$, nagy amplitúdók



Atomic Force Microscopy (AFM), Atomi erő mikroszkópia

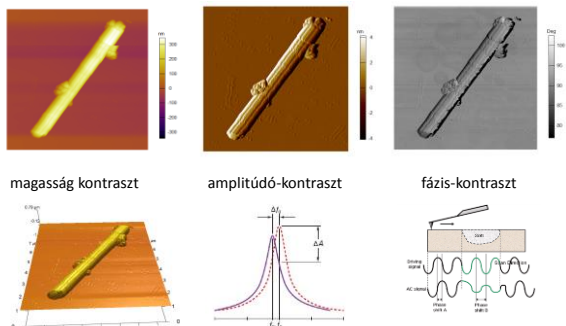
Oscilláló mód: (Tapping mode, Non-contact mode)

- A tűt a rezonanciafrekvenciájához közeli frekvencián **rezegtetjük**.
- A felszínnel való kölcsönhatás miatt a **rezgés amplitúdója megváltozhat**.
- Az **amplitúdót** a tű és a felszín távolságának szabályozásával **tartjuk állandó értéken**.
- Pontról pontra regisztráljuk az ehhez szükséges Z irányú elmozdulást.



Előnye: elvileg kiküszöbölt laterális erő kifejtés, érzékeny minták vizsgálatára is alkalmas.

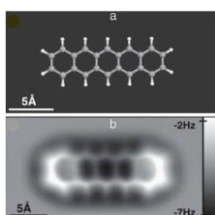
Atomic Force Microscopy (AFM), Atomi erő mikroszkópia



Atomic Force Microscopy (AFM), Atomi erő mikroszkópia

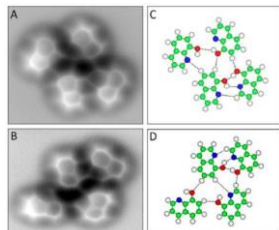
<http://www.youtube.com/watch?v=BrsoS5e39H8>

Atomic Force Microscopy (AFM), Atomi erő mikroszkópia



Pentacén molekula
AFM képe

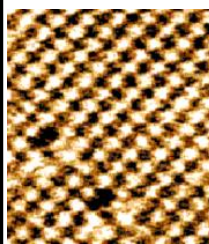
Nature Chemistry 3, 273–278 (2011)



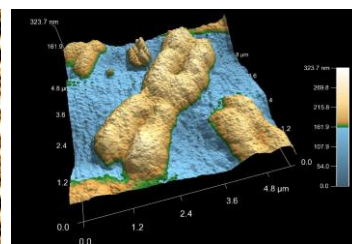
Hidrogénkötések 8-hidroxiquinolin
molekulák között (AFM felvétel)

Science 26, 611–614 (2013)

Atomic Force Microscopy (AFM), Atomi erő mikroszkópia

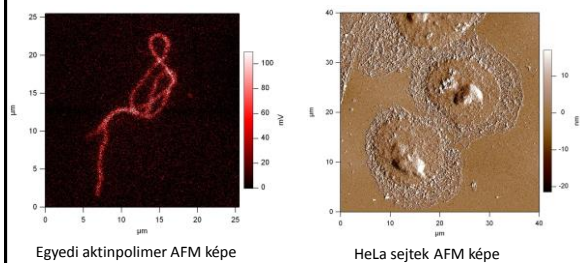


NaCl kristály AFM képe



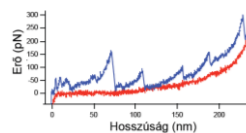
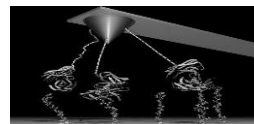
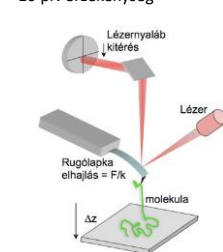
Humán metafázisos kromoszóma AFM képe

Atomic Force Microscopy (AFM), Atomi erő mikroszkópia



Atomic Force Microscopy (AFM), Atomi erő mikroszkópia

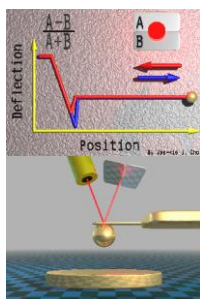
Erőspektroszkópia: a mintát erő nyomási és húzási ciklusok során regisztrált erőválaszok. (erő – távolság függvény)



Atomic Force Microscopy (AFM), Atomi erő mikroszkópia

Erőspektroszkópia: a mintát erő nyomási és húzási ciklusok során regisztrált erőválaszok. (erő – távolság függvény)

~10 pN érzékenység



Atomic Force Microscopy (AFM),



Atomic Force Microscopy (AFM),



Köszönöm a figyelmet!

